

УДК 539.3

© 2002 г. Н.В. БАНИЧУК

**ОПТИМАЛЬНОЕ ПРОЕКТИРОВАНИЕ БЕЗМОМЕНТНЫХ  
ОБОЛОЧЕК ИЗ КВАЗИХРУПКИХ МАТЕРИАЛОВ,  
ПОДВЕРЖЕННЫХ ВОЗДЕЙСТВИЯМ ПОСТОЯННЫХ  
И ЦИКЛИЧЕСКИ ИЗМЕНЯЮЩИХСЯ НАГРУЗОК**

Рассматриваемые в данной работе вопросы связаны с проектированием оболочек минимального веса из квазихрупких материалов. Исследуемые задачи оптимизации заключаются в отыскании оптимальных распределений толщин оболочек и учитывают возможность возникновения и роста трещин. Данные задачи характеризуются неполнотой информации относительно начальных размеров, положения и ориентации трещин. Представлены некоторые основные постановки задач оптимального проектирования оболочек, основанные на гарантированном подходе, и результаты аналитических исследований.

1. Рассмотрим оболочку, имеющую форму поверхности вращения и нагруженную осесимметричными воздействиями. Интенсивности внешних нагрузок, действующих в касательном и нормальном к меридианам направлениях, обозначим через  $q_\phi$  и  $q_n$ . Положение меридианной плоскости задается углом  $\theta$ , отсчитываемым от некоторой заданной меридианной плоскости, а расположение параллельного круга определяется углом  $\phi$  между нормалью к поверхности и осью вращения (фиг. 1). Меридианная плоскость и плоскость перпендикулярная к меридиану являются плоскостями главных кривизн в рассматриваемой точке поверхности оболочки. Соответствующие радиусы кривизн обозначаются через  $r_1$  и  $r_2$ . Радиус параллельного круга обозначается через  $r_0$ . Предполагается, что радиусы кривизн являются величинами, существенно превышающими значения толщин оболочки [1, 2], т.е.

$$h_m = \max_{\phi} h(\phi) \ll r_m \quad (1.1)$$

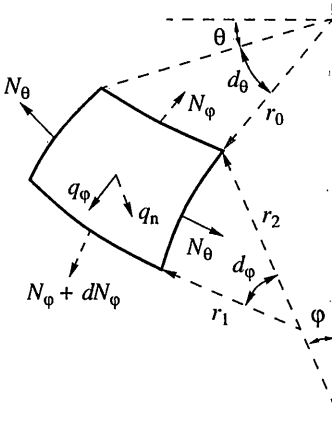
$$r_m = \min_{\phi} \{ \min r_1(\phi), \min r_2(\phi) \} \quad (1.2)$$

Операция  $\min$  в (1.2) означает отыскание минимального из двух величин, записанных в фигурных скобках в (1.2).

Предполагается, что материал оболочки является квазихрупким и что в оболочке имеется сквозная трещина длины  $l$ . Трещина считается прямолинейной и удовлетворяющей условию  $h_m \ll l \ll r_m$ . Расположение трещины заранее неизвестно. Условие распространения трещины, как это следует из механики квазихрупкого разрушения, записывается в виде

$$K_I = K_{IC} \quad (1.3)$$

где  $K_I$  – коэффициент интенсивности напряжений, фигурирующий в асимптотическом представлении компонент тензора напряжений вблизи края трещины. Здесь рассматривается сквозная трещина нормального отрыва. Величина  $K_{IC}$  представляет собой



Фиг. 1

константу квазихрупкой прочности материала. Для вычисления коэффициента интенсивности напряжений будем пользоваться формулой [3, 4]:

$$K_1 = \sigma_n \sqrt{\pi l / 2} \quad (1.4)$$

предполагая оболочку замкнутой, т.е. не имеющей свободных краев, или считая трещину удаленной от краев незамкнутой оболочки. Через  $\sigma_n$  обозначены напряжения, возникающие в нерастрескавшейся оболочке на месте предполагаемого расположения трещины.

Нижний индекс  $n$  означает, что напряжение действует в направлении нормальном к берегам трещины.

Для удобства последующих рассуждений введем малый положительный параметр  $\epsilon$  и редуцированное значение предельной величины коэффициента интенсивности напряжений  $K_{1\epsilon} = K_{1C} - \epsilon$ ,  $\epsilon \geq 0$ . Тогда

условие нераспространения трещины можно приближенно записать следующим образом:

$$K_1 \leq K_{1\epsilon} \quad (1.5)$$

Уравнения равновесия оболочки, служащие для определения величин нормальных мембранных усилий  $N_\phi, N_\theta$ , имеют вид [1]:

$$N_\phi / r_1 + N_\theta / r_2 = -q_n \quad (1.6)$$

$$2\pi r_0 N_\phi \sin \phi + R = 0 \quad (1.7)$$

где  $R$  — результирующая внешних нагрузок, действующих на часть оболочки, расположенную над параллельным кругом, определяемом координатой  $\phi$ . Из приведенных уравнений видно, что для заданных функций  $q_n(\phi)$ ,  $R(\phi)$ ,  $r_1(\phi)$ ,  $r_2(\phi)$ ,  $r_0(\phi)$  ( $r_0 = r_2 \sin \phi$ ) усилие  $N_\phi$  находится из соотношения (1.7), сила  $N_\theta$  определяется при помощи уравнения (1.6). Соответствующие напряжения вычисляются по формулам

$$\sigma_\phi = N_\phi(\phi) / h(\phi), \quad \sigma_\theta = N_\theta(\phi) / h(\phi) \quad (1.8)$$

Принимая во внимание, что коэффициент интенсивности напряжений  $K_1$  зависит неявно (через зависимость величины  $\sigma_n$ ) от толщины и от параметров, определяющих расположение трещины, рассмотрим следующую задачу оптимального проектирования оболочки. Требуется найти оптимальное распределение толщин  $h = h(\phi)$ , которое удовлетворяет геометрическому ограничению  $h \geq h_0$  и неравенству (1.5) для любых допустимых расположений и длин трещин и минимизирует функционал  $J(h)$  (объем материала оболочки)

$$J = J(h) \rightarrow \min_h \quad (1.9)$$

$$J(h) = \int_0^{2\pi} \int_{\phi_0}^{\phi_f} h r_1 r_2 \sin \phi d\phi d\theta = 2\pi \int_{\phi_0}^{\phi_f} h r_1 r_2 \sin \phi d\phi$$

Здесь  $\phi_0, \phi_f$  ( $\phi_0 < \phi_f$ ) — заданные параметры, определяющие пределы изменения угла  $\phi$ . Некоторые дополнительные предположения, касающиеся допустимых вариантов расположения трещины и ее размеров необходимы для замкнутой формулировки задачи оптимального проектирования. Будем характеризовать трещину вектором  $\omega = \{\phi_c, l, \alpha\}$ , где  $\phi_c$  — координата середины трещины,  $l$  — длина трещины,  $\alpha$  — угол, устанавливающий ориентацию трещины относительно меридиана. Вторая координата  $\theta_c$

середины трещины является несущественной, т.к. рассматривается осесимметричная задача и применяется гарантированный подход, допускающий все расположения трещины на параллелях ( $0 \leq \theta_c \leq 2\pi$ ). Если  $\alpha = 0$ , то трещина ориентирована в меридиальном направлении (аксиальная трещина), а для  $\alpha = \pi/2$  трещина ориентирована в направлении параллелей (периферийная трещина). Предполагается, что длины  $l$  рассматриваемых трещин не превышают заданного предельного значения  $l_m$ , где  $l \leq l_m \leq r_m$ .

Принятые предположения и имеющиеся дополнительные данные относительно наиболее опасных частей (подобластей) конструкций (в смысле появления трещин) позволяют считать множество допустимых трещин  $\Lambda$  ( $\omega \in \Lambda$ ) заданным.

Таким образом, задача оптимального проектирования заключается в отыскании распределения толщин  $h(\varphi)$ , такого что функционал (1.9) достигает минимального значения при выполнении геометрического ограничения

$$h(\varphi) \geq h_0 \quad (1.10)$$

и прочностного ограничения

$$\max_{\omega} K_1 \leq K_{1e} \quad (1.11)$$

где максимум по  $\omega$  находится на множестве  $\Lambda$ , т.е.

$$\omega \in \Lambda \quad (1.12)$$

Можно показать, что максимальное значение  $K_1$  по  $l$  и по  $\alpha$  реализуется, когда  $l = l_m$  и  $\alpha$  принимает одно из двух экстремальных значений:  $\alpha = 0$  (аксиальная трещина),  $\alpha = \pi/2$ , (периферийная трещина). Следовательно неравенство (1.5) может быть записано в виде системы двух неравенств:

$$\max_{\varphi_c} \left( \frac{\sqrt{\pi l_m / 2}}{h} N_{\varphi} \right) \leq K_{1e}, \quad \max_{\varphi_c} \left( \frac{\sqrt{\pi l_m / 2}}{h} N_{\theta} \right) \leq K_{1e} \quad (1.13)$$

$$N_{\varphi} = -\frac{R}{2\pi r_0 \sin \varphi_c}, \quad N_{\theta} = r_2 \left( \frac{R}{2\pi r_0 r_1 \sin \varphi_c} - q_n \right) \quad (1.14)$$

Для удовлетворения приведенной системе неравенств (1.13) необходимо и достаточно потребовать, чтобы

$$h(\varphi) \geq \frac{\sqrt{\pi l_m / 2}}{K_{1e}} \max \left\{ -\frac{R(\varphi)}{2\pi r_0(\varphi) \sin \varphi}, r_2(\varphi) \left( \frac{R(\varphi)}{2\pi r_0(\varphi) r_1(\varphi) \sin \varphi} - q_n(\varphi) \right) \right\} \quad (1.15)$$

для любых  $\varphi \in [\varphi_0, \varphi_f]$ . Операция  $\max$  в (1.15) означает выбор максимальной из двух величин, записанных в фигурных скобках. При этом исходная задача (1.9), (1.10) – (1.12) сводится к задаче (1.9), (1.10), (1.15), которая допускает следующее аналитическое решение

$$\begin{aligned} h &= \max \left\{ h_0, \frac{\sqrt{\pi l_m / 2}}{K_{1e}} N_{\varphi}, \frac{\sqrt{\pi l_m / 2}}{K_{1e}} N_{\theta} \right\} = \\ &= \max \left\{ h_0, -\frac{R\sqrt{\pi l_m / 2}}{2\pi r_0 \sin(\varphi) K_{1e}}, \frac{r_2 \sqrt{\pi l_m / 2}}{K_{1e}} \left( \frac{R}{2\pi r_0 r_1 \sin(\varphi)} - q_n \right) \right\} \end{aligned} \quad (1.16)$$

Для любых фиксированных  $\varphi \in [\varphi_0, \varphi_f]$  операция  $\max$  в (1.16) означает выбор максимальной из трех величин, записанных в фигурных скобках.

Заметим, что в окрестностях, прилегающих к нагруженным краям оболочки, и в областях подкрепления оболочки кольцевыми ребрами жесткости могут возникать изгибные напряжения. Однако, области, в которых действуют значительные изгибные усилия, достаточно малы [1, 2]. Для основной же части оболочки с высокой степенью точности можно пренебрегать краевыми эффектами и использовать мембранную теорию. Поэтому проводимые ниже построения оптимальных проектов в случае незамкнутых подкрепленных оболочек применимы вплоть до узких зон подкрепления оболочки.

Заметим также, что для рассматриваемых в данной работе задач оптимизации применяется гарантированная минимаксная постановка, использованная ранее при оптимальном проектировании деформируемых тел из квазихрупких материалов в [5, 6].

2. В качестве примеров применения, полученных выше общих результатов, приведем решение задач оптимального проектирования тороидальной, конической и сферической оболочек. Детальный анализ напряженного состояния для указанных оболочек содержится, например, в [1, 2].

2.1. Рассмотрим задачу оптимального проектирования оболочки в форме тора, получаемого вращением вокруг вертикальной оси круга радиуса  $a$ , расстояние между центром которого и осью вращения равно  $b$ . Половина сечения оболочки вертикальной плоскостью показана на фиг. 2. Оболочка находится под действием равномерно распределенного внутреннего давления ( $q_n = \text{const}$ ). Возникающие при этом усилия  $N_\varphi$ ,  $N_\theta$  находятся из рассмотрения равновесия кольцеобразной части оболочки и записываются в виде [1]:

$$N_\varphi = \frac{a}{2} \left( 1 + \frac{b}{r_0} \right) q_n, \quad N_\theta = \frac{a}{2} q_n, \quad r_0 = b + a \sin \varphi \quad (2.1)$$

Принимая во внимание, что  $N_\varphi > N_\theta$  и используя формулу (1.16) будем иметь следующее выражение для оптимального распределения толщин в оболочке:

$$h = \max \left\{ h_0, \frac{a}{2K_{1e}} \left( 1 + \frac{b}{r_0} \right) q_n \sqrt{\pi l_m / 2} \right\} \quad (2.2)$$

Оптимальное распределение толщин в тороидальной оболочке показано на фиг. 2. Как это видно из (2.2) и показано на фиг. 2, толщина оболочки  $h$  уменьшается при увеличении расстояния  $r_0 = b + a \sin \varphi$  от оси вращения.

2.2. В качестве другого примера рассмотрим задачу оптимального проектирования сферической оболочки (фиг. 3), опертой по параллельному кругу  $AB$  и наполненной жидкостью удельного веса  $\gamma$ . Положение параллельного круга  $AB$  определяется углом  $\varphi = \varphi_0$ . Для зависимости внутреннего давления от угла  $\varphi$  и геометрических параметров оболочки имеем следующее выражение:

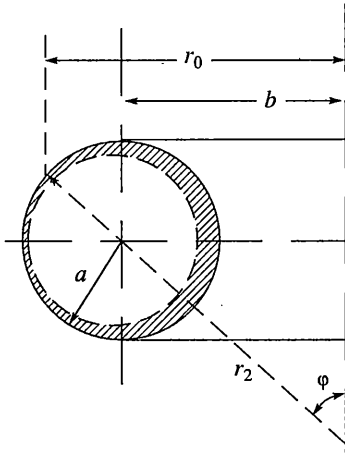
$$-q_n = \gamma a (1 - \cos \varphi), \quad r_1 = r_2 = a, \quad r_0 = a \sin \varphi \quad (2.3)$$

Результирующая сила давления  $R$ , приложенная к части оболочки, расположенной над определяемым углом  $\varphi$ , параллельным кругом, а также выражения для усилий  $N_\varphi$ ,  $N_\theta$  записываются в виде

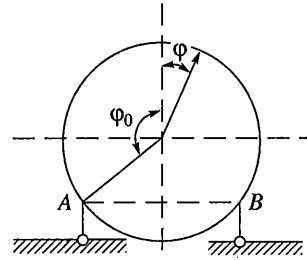
$$R = -2\pi a^2 \int_0^\varphi \gamma a (1 - \cos \varphi) \sin \varphi \cos \varphi d\varphi = -2\pi a^3 \gamma \left[ \frac{1}{6} - \frac{1}{2} \cos^2 \varphi \left( 1 - \frac{2}{3} \cos \varphi \right) \right]$$

$$N_\varphi = -\frac{R}{2\pi r_0 \sin \varphi} = \frac{\gamma a^2}{6} \left( 1 - \frac{2 \cos^2 \varphi}{1 + \cos \varphi} \right) \quad (2.4)$$

$$N_\theta = r_2 \left( \frac{R}{2\pi r_0 r_1 \sin \varphi} - q_n \right) = \frac{\gamma a^2}{6} \left( 5 - 6 \cos \varphi + \frac{2 \cos^2 \varphi}{1 + \cos \varphi} \right)$$



Фиг. 2



Фиг. 3

при  $\varphi < \varphi_0$ , т.е. для верхней части оболочки. Для нижней части оболочки ( $\varphi > \varphi_0$ ) имеем следующее выражение для  $R$ ,  $N_\varphi$  и  $N_\theta$ :

$$R = -\frac{4}{3}\pi a^3 \gamma - 2\pi a^3 \gamma \left[ \frac{1}{6} - \frac{1}{2} \cos^2 \varphi \left( 1 - \frac{2}{3} \cos \varphi \right) \right]$$

$$N_\varphi = \frac{\gamma a^2}{6} \left( 5 + \frac{2 \cos^2 \varphi}{1 - \cos \varphi} \right) \quad (2.5)$$

$$N_\theta = \frac{\gamma a^2}{6} \left( 1 - 6 \cos \varphi - \frac{2 \cos^2 \varphi}{1 - \cos \varphi} \right)$$

С использованием выражений (2.4) можно показать, что  $N_\theta \geq 0$  и

$$N_\theta - N_\varphi = \frac{\gamma a^2}{6(1 + \cos \varphi)} (2 - \cos \varphi - \cos^2 \varphi) \geq 0 \quad (2.6)$$

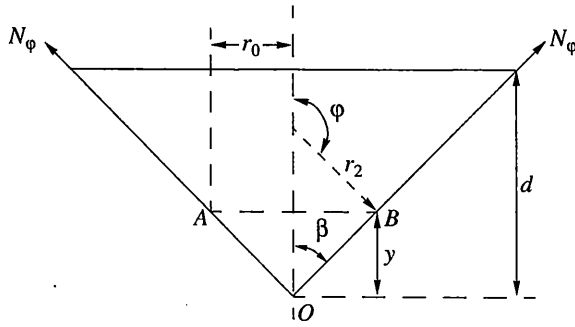
для верхней части оболочки, т.е. при  $0 \leq \varphi < \varphi_0$ . Строгое равенство в (2.6) реализуется, когда  $\varphi = 0$ . Для нижней части оболочки ( $\varphi_0 < \varphi \leq \pi$ ) величины мембранных сил, определяемых выражениями (2.5), удовлетворяют неравенствам  $N_\varphi > 0$  и

$$N_\theta - N_\varphi = \frac{\gamma a^2}{3(1 - \cos \varphi)} (2 + \cos \varphi + \cos^2 \varphi) > 0 \quad (2.7)$$

Таким образом, для верхней части оболочки третий член в (1.16) больше второго. Соответственно для нижней части оболочки второй член в (1.16) больше третьего. Следовательно оптимальное распределение толщин сферической оболочки запишется в виде

$$h = \max \left\{ h_0, \frac{\gamma a^2 \sqrt{\pi l_m / 2}}{6K_{Ie}} \left( 5 - 6 \cos \varphi + \frac{2 \cos^2 \varphi}{1 + \cos \varphi} \right) \right\}, \quad 0 \leq \varphi \leq \varphi_0 \quad (2.8)$$

$$h = \max \left\{ h_0, \frac{\gamma a^2 \sqrt{\pi l_m / 2}}{6K_{Ie}} \left( 5 + \frac{2 \cos^2 \varphi}{1 - \cos \varphi} \right) \right\}, \quad \varphi_0 < \varphi < \pi$$



Фиг. 4

2.3. Рассмотрим коническую оболочку, заполненную жидкостью с удельным весом  $\gamma$  (фиг. 4). Обозначим через  $y$  и  $d$  текущее расстояние и высоту свободной поверхности жидкости, отсчитываемые от вершины оболочки  $O$ . Подставляя выражения для давления  $-q_n$ , силу  $R$  (вес жидкости, расположенной над параллельным кругом  $AB$ , определяемым углом  $\varphi$ ) и соответствующие геометрические характеристики конической оболочки

$$-q_n = \gamma(d - y), \quad R = -\pi\gamma y^2 \left(d - \frac{2}{3}y\right) \tan^2 \beta \quad (2.9)$$

$$\varphi = \pi/2 + \beta, \quad r_1 = \infty, \quad r_0 = y \tan \beta.$$

в уравнения (1.6), (1.7), получим

$$N_\theta = -\frac{q_n r_0}{\sin \varphi} = \frac{\gamma(d - y)y \tan \beta}{\cos \beta}$$

$$N_\varphi = -\frac{R}{2\pi r_0 \cos \beta} = \frac{\gamma y(d - \frac{2}{3}y) \tan \beta}{2 \cos \beta} \quad (2.10)$$

Как это следует из (2.10),  $N_\theta \geq 0$ ,  $N_\varphi \geq 0$  для любых  $y \in [0, d]$ , а величина

$$N_\theta - N_\varphi = \frac{\gamma y(d - \frac{4}{3}y) \tan \beta}{2 \cos \beta} \quad (2.11)$$

является положительной для  $0 \leq y \leq \frac{3}{4}d$  и отрицательной для  $\frac{3}{4}d < y \leq d$ . Имеем

$$N_\theta \geq N_\varphi (0 \leq y \leq \frac{3}{4}d), \quad N_\theta \leq N_\varphi (\frac{3}{4}d \leq y \leq d) \quad (2.12)$$

Учитывая (2.12) и используя (1.16), представим оптимальное распределение толщин конической оболочки следующим образом:

$$h = \max \left\{ h_0, \frac{\gamma \tan \beta \sqrt{\pi l_m / 2}}{K_{1e} \cos \beta} (d - y)y \right\}, \quad 0 \leq y \leq \frac{3}{4}d \quad (2.13)$$

$$h = \max \left\{ h_0, \frac{\gamma \tan \beta \sqrt{\pi l_m / 2}}{2K_{1e} \cos \beta} (d - \frac{2}{3}y)y \right\}, \quad \frac{3}{4}d \leq y \leq d$$

Заметим, что максимальное значение силы  $N_\theta$ :  $(N_\theta)_{\max} = (N_\theta)_{y=d/2} = \gamma d^2 \tan \beta / (4 \cos \beta)$  больше, чем максимальное значение силы  $N_\varphi$ :  $(N_\varphi)_{\max} = (N_\varphi)_{y=3/4d} = 3\gamma d^2 \tan \beta / (16 \cos \beta)$ .

Следовательно, если значение параметра  $h_0$  достаточно мало, то оптимальное распределение толщин  $h(y)$  достигает максимума при  $y = d/2$ .

3. Выше при постановке задачи оптимального проектирования и ее решении предполагалось, что прикладываемые к оболочке нагрузки не меняются в процессе ее эксплуатации. Рассмотрим теперь другой случай, когда на оболочку действуют циклические нагрузки

$$\begin{aligned} q_\varphi &= q_\varphi^0 p, \quad q_n = q_n^0 p \\ 0 &\leq p_{\min} \leq p \leq p_{\max} \end{aligned} \quad (3.1)$$

где  $q_\varphi^0, q_n^0$  – заданные амплитудные функции независимой координаты,  $\varphi, p$  – параметр нагружения, а  $p_{\min}, p_{\max}$  – заданные константы. Предположим, что прикладываемые нагрузки обуславливают квазистатическое изменение напряженного состояния оболочки и монотонное увеличение длины возникшей трещины. Процесс усталостного роста трещины при циклических нагружениях описывается уравнениями следующего вида [7, 8]:

$$\begin{aligned} dl/dn &= C(\Delta K_1)^m \\ l_0 &\leq l \leq l_{cr}, \quad 0 \leq n \leq n_{cr} \end{aligned} \quad (3.2)$$

где  $C$  и  $m$  ( $2 < m \leq 4$ ) – заданные материальные константы,  $n$  – число циклов,  $l_{cr}$  и  $n_{cr}$  – критические значения длины трещины и числа циклов, соответствующие моменту разрушения оболочки. Величина коэффициента интенсивности напряжений  $K_1$  для трещин нормального отрыва дается формулой (1.4), а приращение  $\Delta K_1$  определяется следующим образом:

$$\Delta K_1 = (K_1)_{\max} - (K_1)_{\min} = \sqrt{\pi l_m} / 2 \sigma_n^0 (p_{\max} - p_{\min}) \quad (3.3)$$

где  $(K_1)_{\max}, (K_1)_{\min}$  – максимальное и минимальное значение коэффициента интенсивности напряжений в цикле изменения нагрузки. Здесь и в дальнейшем через  $\sigma_n^0$  и  $\sigma$  обозначаются следующие величины:

$$\sigma_n^0 = (\sigma_n)_{p=1}, \quad \sigma = p_{\max} \sigma_n^0 \quad (3.4)$$

Дифференциальное уравнение (3.2) определяет с учетом (3.3) зависимость длины трещины  $l$  от числа циклов  $n$  при квазистатическом процессе роста трещины. Это уравнение справедливо до момента  $n = n_{cr}$ , когда  $l = l_{cr}$  и наступает неустойчивое распространение трещины (разрушение оболочки). Для отыскания  $l_{cr}$  используется критерий разрушения

$$K_1(l_{cr}, \sigma) = K_{1\varepsilon} \quad (3.5)$$

где  $K_{1\varepsilon} = K_{1c} - \varepsilon$ ,  $\varepsilon > 0$  – достаточно малое число. С учетом (1.4), (3.4), (3.5) будем иметь

$$l_{cr} = \frac{2}{\pi} \left( \frac{K_{1\varepsilon}}{\sigma} \right)^2 = \frac{2}{\pi} \left( \frac{K_{1\varepsilon}}{p_{\max} \sigma_n^0} \right)^2 \quad (3.6)$$

Предполагается, что начальные размеры трещины  $l_0$  не превышают критической величины  $l_{cr}$ , т.е.  $l_0 \leq l_{cr}$ . Число циклов нагружения  $n_{cr}$ , необходимых для достижения трещиной критического размера  $l_{cr}$ , определяет долговечность (ресурс) конструкции. Ниже рассмотрим следующую задачу оптимального проектирования оболочки с ограничениями по долговечности.

Требуется найти оптимальное распределение толщин оболочки, которое удовлетворяет геометрическому ограничению (1.10), ограничению по долговечности

$$\min_{\omega} n_{cr} \geq n_* \quad (3.7)$$

и минимизирует функционал  $J(h)$  из (1.9) (объем материала оболочки). Минимум по  $\omega$  находится на множестве  $\Lambda$  допустимых значений, определяющих длину и расположение трещины.

Величина  $n_{cr}$  в (3.7) зависит от  $\sigma$ . С целью получения явной зависимости  $n_{cr}$  от  $\sigma$  проинтегрируем уравнение (3.2) в пределах  $0 \leq n \leq n_{cr}$ ,  $l_0 \leq l \leq l_{cr}$ , и воспользуемся выражением (3.6) для  $l_{cr}$ . Будем иметь

$$n_{cr} = \frac{\Psi_1(\sigma)}{\Psi_2(\sigma)}, \quad \Psi_1(\sigma) = 1 - \left( \frac{l_0 \pi \left( \frac{\sigma}{K_{Ie}} \right)^2}{2} \right)^{\frac{1}{2}m-1} \quad (3.8)$$

$$\Psi_2(\sigma) = (\frac{1}{2}m - 1) l_0^{\frac{1}{2}m-1} C (\pi/2)^{\frac{1}{2}m} \sigma^m (1 - p_{\min} / p_{\max})^m$$

Критическое число циклов  $n_{cr}$ , как это следует из (3.8), является монотонно убывающей функцией величин  $\sigma$  и  $l_0$  и, следовательно, минимальное значение  $n_{cr}$  по  $l_0$  и по  $\sigma$  реализуется, когда  $l_0 = l_m$  и  $\sigma$  принимает одно из двух экстремальных значений, соответствующих аксиальной трещине ( $\alpha = 0$ ) или периферийной трещине ( $\alpha = \pi/2$ ), т.е. для

$$\sigma = (\sigma)_{\alpha=0} = \sigma_{\theta}, \quad \sigma = (\sigma)_{\alpha=\pi/2} = \sigma_{\varphi} \quad (3.9)$$

Обозначим через  $\sigma_* > 0$  корень алгебраического уравнения  $n_{cr}(\sigma) = n_*$ . Ограничение по долговечности (3.7) запишется в виде системы двух неравенств

$$\max_{\varphi_c} \left( \sigma_{\varphi} = \frac{N_{\varphi}}{h} \right) \leq \sigma_*, \quad \max_{\varphi_c} \left( \sigma_{\theta} = \frac{N_{\theta}}{h} \right) \leq \sigma_* \quad (3.10)$$

$$N_{\varphi} = -\frac{R}{2\pi r_0 \sin \varphi_c}, \quad N_{\theta} = r_2 \left( \frac{R}{2\pi r_0 r_1 \sin \varphi_c} - q_n \right)$$

Заметим, что интенсивности внешних нагрузок, а также определяемое ими значение силы  $R$ , берутся в (3.10) при  $p = p_{\max}$ .

Для удовлетворения приведенной системе неравенств (3.10) необходимо и достаточно потребовать, чтобы

$$h(\varphi) \geq -\frac{R(\varphi)}{2\pi \sigma_* r_0(\varphi) \sin \varphi} \quad (3.11)$$

$$h(\varphi) \geq \frac{r_2(\varphi)}{\sigma_*} \left( \frac{R(\varphi)}{2\pi r_0(\varphi) r_1(\varphi) \sin \varphi} - q_n(\varphi) \right)$$

для  $\varphi \in [\varphi_0, \varphi_f]$ . При этом решение задачи оптимального проектирования, которая сведена к минимизации интеграла (1.9) при ограничениях типа неравенств (1.10), (3.11), записывается в следующем виде:

$$h = \max \left\{ h_0, \frac{N_{\varphi}}{\sigma_*}, \frac{N_{\theta}}{\sigma_*} \right\} = \max \left\{ h_0, -\frac{R}{2\pi \sigma_* r_0 \sin \varphi}, \frac{r_2}{\sigma_*} \left( \frac{R}{2\pi r_0 r_1 \sin \varphi} - q_n \right) \right\} \quad (3.12)$$

Для любых фиксированных  $\varphi \in [\varphi_0, \varphi_f]$  операция  $\max$  в (3.12) означает выбор максимальной из трех величин, записанных в фигурных скобках. В случае  $m = 4$  (типичное значение для металлов [7]):

$$n_{cr} = \left[ 1 - \frac{\pi l_m}{2} \left( \frac{\sigma}{K_{Ie}} \right)^2 \right] / \left[ C \left( \frac{\pi}{2} \right)^2 l_m \sigma^4 \left( 1 - \frac{p_{\min}}{p_{\max}} \right)^4 \right] \quad (3.13)$$



а условие  $n_{cr}(\sigma) \geq n_*$  записывается в виде явного ограничения на  $\sigma$ :

$$\begin{aligned} \sigma^2 &\leq \sigma_*^2 \equiv b_1(-1 + \sqrt{1 + b_2}) \\ b_1 &= 1/[C\pi(1 - p_{\min}/p_{\max})^4 K_{I\epsilon}^2 n_*] \\ b_2 &= 4n_*CK_{I\epsilon}^4(1 - p_{\min}/p_{\max})^4 / l_m \end{aligned} \quad (3.14)$$

Заметим, что при достаточно больших значениях  $n_{cr}$ , т.е. в случае многоциклового усталости, величина  $\sigma_*$  дается следующим асимптотическим представлением:

$$\sigma_* = [\sqrt{\pi/2}(Cl_m n_*)^{1/4}(1 - p_{\min}/p_{\max})]^{-1} \quad (3.15)$$

В качестве примера приведем решение задачи оптимального проектирования оболочки в форме тора, подверженной действию равномерно распределенного внутреннего давления  $q = pq^0$  ( $q^0 = \text{const}$ ) циклически меняющегося по величине пропорционально параметру  $p$ . Выражения для усилий  $N_\phi$  и  $N_\theta$  даются формулами (2.1).

В случае  $m = 4$  и достаточно больших значений  $n_{cr}$ , когда можно пользоваться представлением (3.15), выражение для оптимального распределения толщин дается формулой

$$h = \max \left\{ h_0, \frac{aq_0}{2} \left( 1 + \frac{b}{r_0} \right) \sqrt{\pi/2} (Cl_m n_*)^{1/4} \left( 1 - \frac{p_{\min}}{p_{\max}} \right) \right\} \quad (3.16)$$

описывающей явную зависимость решения от определяющих параметров.

Работа выполнена при финансовой поддержке Российского фонда фундаментальных исследований (грант 00-01-96025) и региональной программы РФФИ "р 2000-Юг".

#### СПИСОК ЛИТЕРАТУРЫ

1. Тимошенко С.П., Войновский-Кригер С. Пластинки и оболочки. М.: Наука, 1966. 635 с.
2. Новожилов В.В., Черных К.Ф., Михайловский Е.И. Линейная теория тонких оболочек. Л.: Политехника, 1991. 656 с.
3. Kanninen M.F., Popelar C.H. Advanced Fracture Mechanics. New York: Oxford Univer. Press, 1985. 563 p.
4. Folias E.S. Failure of pressurized vessels // Fracture: a Topical Encyclopedia of Current Knowledge. Malabar: Krieger Publ. Co., 1998. P. 275–288.
5. Баничук Н.В. Задачи оптимального проектирования на основе механики квазихрупкого разрушения. Докл. РАН. 1998. Т. 358. № 1. С. 40–43.
6. Banichuk N.V. Optimal design of quasi-brittle elastic bodies with cracks // Mech. Struct. and Mach. 1998. V. 26. № 4. P. 365–376.
7. Хеллан К. Введение в механику разрушения. М.: Мир, 1988. 364 с.
8. Smith R.N. Basic Fracture Mechanics: Including an Introduction to Fatigue. Oxford: Butterworth-Heinemann Ltd, 1991. 160 p.

Москва

Поступила в редакцию  
7.02.2002